

### III-4-5 鋼管打入による地すべり防止工の試験

京都大学防災研究所 正員 山口 真一  
 新潟県 研究所 " 渡元 光春  
 入善鋼管株式会社 " 中川 幸  
 " " 金 喬 天  
 " " 井 破 龍一

#### 1. 予言がき

地すべりは、その地域の水理的条件に適応する場合が多く、地すべり防止工法としては、地下水排水工法、地表水導流工法、などが多く採用されてきた。最近ではこれらの方策が不可能な地域に打可工法とし、又これらと併用する二つで防護工事を完全に可工ため、既に下3種の工法が注目されつつあるが、ハチドニの設計に対する考え方の方は、不十分である。そこで、地すべり活動中の現地に鋼管を挿入し、主として地すべり層中に於ける鋼管が受けた工圧分布と変形状態を調べ、一つの傾向をつかんで以下にその概要を報告する。

#### 2. 試験内容及び測定方法(主として以下の事項について測定研究した。)

i) 地すべり面の位置判定：ボーリング調査、塗り墨下3箇所、伸縮計下3箇所、理論解析などから推定して地すべり面の深さに、杭の局部変形が合致するかを観察した。

ii) 鋼管底の歪測定：中経鋼管の内部に229リットル槽と天板を用いて内径210mmで円周方向各4箇所にストレインゲージを貼付し、鋼管の軸方向、円周方向歪を測定した。これより杭の変形曲線、内部応力分布、荷重分布などを求めた。

iii) 工圧測定：鋼管の地すべり面近辺と、地すべり層上部にて下3箇所にストレインゲージを利用して手製の工圧計を設置し、各工圧の絶対値を測定した。又鋼管の端部下3箇所を利用して地すべり方向に沿う工圧分布を求めた。

iv) 其の他：229リットル槽と地中鋼管との変形比較

地すべり層の移動量測定(トランシット方式)及び張力計(F3)

杭周囲下3箇所工圧の変化、鋼管挿入部下3箇所(背面)に対する反応工圧、杭頭に於ける工場の動き(塗り墨万能計F-2)

3. 試験場所 新潟県東蒲原郡三山町地すべり現地

i) 地すべり地盤概要：長さ(3600m)、刃(2400m)面積(850m<sup>2</sup>)

地すべり高さ差(850m)、移動方向(西側西から東北東へ)、平均傾斜角(5°)、地すべり面深さ(地下6~7m)及び(11~15m)

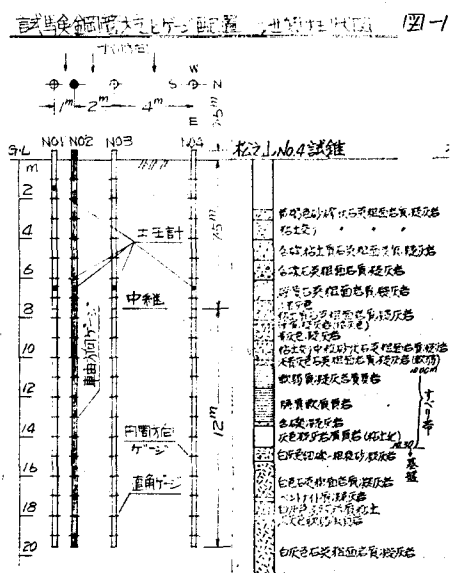
地盤(主として黒色頁岩、多孔質石灰岩、砂土)

4. 試験杭の構造及び配置。(図-1)

電気鋼管(STK41) Φ18.5<sup>Φ</sup> × 6.9<sup>t</sup> × 20<sup>m</sup> — 4本

走査コクルート ( $R_s = 200 \sim 250 \text{ mm}^2$ )

表-1に至る万能工圧計取付内容を示す。



## 5. 試験結果(ニ)でN0.3鉛管の各測定位置に於ける

軸方向歪、経日変化と、測定算出した諸値を示す。

i) 地面に荷重の方向: この地層の移動方向、土圧の主方向、及び地盤の方向に等しい。

この方向をN-S線とし、WからE方向に経日変化

$$\text{有り} \quad E_{EW} = E_{EE} = E_{EW} = E_{EE} = \tan \theta \quad \text{と} \quad \theta$$

$$E_{EW} = E_{EE} > 0 \quad E_{EW} = E_{EE} < 0 \quad \text{つまり方向は} W \text{より} N \text{への位置}$$

$$E_{EW} = E_{EE} < 0 \quad E_{EW} = E_{EE} > 0 \quad \text{つまり方向は} W \text{より} S \text{へ} \theta$$

ただし、 $E_n, E_s, E_e, E_w$  は各深さ、各方向の軸方向歪測定値

ii) 管の曲率半径と曲率半径: i) によって決定された方向

への管の曲げ变形は弾性範囲内で取扱うと、次式にて

$$P = \frac{D \cos \theta}{E_{EW} + E_{EE}} = \frac{D \cdot E}{E_{EW} + E_s} \quad (\text{曲率半径 } m)$$

$$2 \times D = \text{管の外径}, \quad C = \text{曲率} = \frac{1}{R}$$

iii) 管のたわみとたわみ角

$$\phi = \frac{d\psi}{dx} = \int \frac{1}{P} dx = \int \frac{2E}{D} dx \quad (\text{たわみ角}) \quad E = \frac{E_{EW} + E_{EE}}{2 \cos \theta} = \frac{(E_{EW} + E_s)}{2 \cos \theta}$$

$$\psi = \int \phi dx = \int \int \frac{1}{P} dx = \int \int \frac{2E}{D} dx dx$$

iv) 曲げモーメント

$$M = \bar{\psi} Z = E \cdot \frac{Z I}{D} \quad \text{又} \quad C = \frac{1}{\rho} = \frac{M}{EI} = \frac{d^2 \psi}{dx^2}$$

2.2. E: 鋼管の弾性係数、EI: 曲げ剛性、Z: 断面積

$$i) \text{剪断力: } S = \frac{d^3 \psi}{dx^3} = \frac{d}{dx} \left( \frac{1}{\rho} \right)$$

$$ii) \text{地盤反力: } f = \frac{d^4 \psi}{dx^4} = \frac{ds}{dx} = \frac{d^2}{dx^2} \left( \frac{1}{\rho} \right)$$

6. 考察 地面に荷重防止工設計上、最も重要な土圧の作用

状態について、N0.3管のデータで得られた管の軸方向歪分布から

次の不満足解釈をしてみる。一般に弾性支承工位置の中央梁に

荷重が作用すると曲げモーメントと反対に曲がり同時に地盤反力を

生じるが、荷重奥から外離せると曲げモーメントは急激に消失し、梁は

単に荷重奥で大きな局部曲げと外局部変形を強制される。

N0.3管に求めた曲線がこれによく似た傾向をもつてあり、生質の

墨子二つの地層間に立つ片持梁の反対側がその反力と二つの

層の境界近傍で集中し、境界から相当離れたところではほとんど反

力を生じないという合意する場合を想像して理論曲線を求める

ことにN0.3管の軸方向曲線(E-W方向)と計算した

一致する。従来地盤に荷重防止工を設置する方法は、荷重下部面から上部面まで分布、又は三角分布などと考へら

れるが、その可能性の十分である当地の荷重変動特性地盤のため、於ては現行のF3工法(地盤に荷重)の2倍

並行に集中的に荷重づけてある。従つて場合、設計には3点で絶縁的に行なわれてある。

表一)

杭番号	N0.1	N0.2	N0.3	N0.4
円周拘束なし(1m×4)	有	無	無	有
コンクリート充填	無	有	無	無
軸方向ストレインゲージ	無	765PM	765PM	無
円周方向ストレインゲージ	765PM	無	765PM	765PM
土圧計	64	34	34	34
温度測定用ゲージ	34	34	34	34
リード線経路	管内	管外	管内	管内

